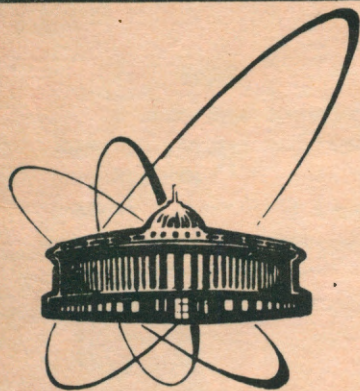


91-322



ОБЪЕДИНЕННЫЙ
ИНСТИТУТ
ЯДЕРНЫХ
ИССЛЕДОВАНИЙ
ДУБНА

P2-91-322

Е.П.Каданцева, А.А.Шаненко, В.И.Юкалов

РОЛЬ СМЕШАННОГО СОСТОЯНИЯ
В СТАТИСТИЧЕСКИХ МОДЕЛЯХ ДЕКОНФАЙНМЕНТА

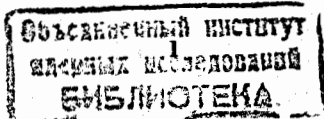
Направлено в журнал "Ядерная физика"

1991

I. Введение

В настоящее время при изучении экстремальных состояний ядерного вещества большой популярностью пользуются статистические модели деконфайнмента ^{/1-5/}, что обусловлено трудностями решеточного моделирования при конечной барионной плотности ^{/6/}. Напомним, что для полноты исследования деконфайнмента в рамках статистических моделей изучался не только фазовый переход из адронной материи в кварк-глюонную плазму, но и деконфайнмент в бескварковых $SU(2)$ и $SU(3)$ теориях ^{/7/}. Как правило в статистическом подходе рассматривается система, которая может реализоваться либо в виде кластерной фазы (адроны в случае $SU(3)$ теории с кварками; глюболы для $SU(2)$ и $SU(3)$ теорий), либо в виде плазменной фазы (кварк - глюонная плазма; глюонная плазма). При задании уравнения состояния плазмы чаще всего используют идеи MIT - группы ^{/8/}, но в последнее время появились и новые варианты описания ^{/9,13/}. Оказывается, что деконфайнмент в обсуждаемом подходе для бескварковых $SU(2)$ и $SU(3)$ систем является фазовым переходом первого рода. В свою очередь, фазовый переход из адронов в кварк-глюонную плазму при нулевой барионной плотности также относится к первому роду. Как в случае бескварковых $SU(2)$ и $SU(3)$ систем, так и в случае $SU(3)$ теории с кварками относительная теплота перехода $\Delta E/\theta_{dec}^4$ (θ_{dec} - температура деконфайнмента) близка к величине $\epsilon_{SB}/\theta_{dec}^4$ (ϵ_{SB} - энергия глюонного газа; кварк-глюонного газа). При этом равновесное сосуществование нерасслоенных фаз, при котором в одной и той же области пространства находятся и кластеры, и плазма, не учитывается. Однако в природе имеется множество примеров сосуществования нерасслоенных фаз. К тому же, учет подобных гетерофазных состояний сильно сказывается даже на качественной картине процессов, часто сглаживая резкие переходы в системе ^{/14-16/}. Следовательно, рассмотрение, не принимающее во внимание гетерофазные состояния, не может считаться полным.

Кроме того, подчеркнем следующее. В противовес статистическим результатам, решеточные расчеты указывают на второй род деконфайнмента в бескварковой $SU(2)$ теории ^{/17,18/}. К тому же, недавние результаты для решеток с большим пространственным объемом дают серьезные основания полагать, что в $SU(3)$ теории деконфайнмент - это или фазовый переход второго рода, или переход первого рода, но близкий ко второму (относительная теплота перехода $\Delta E/\theta_{dec}^4$ существенно меньше $\epsilon_{SB}/\theta_{dec}^4$) ^{/19-21/}. Наконец, множество публикаций говорит о том, что переход из адронной фазы в кварк-глюонную плазму сопровождается хотя и резким, но, тем не менее, непрерывным возрастанием



танием объемной плотности энергии системы /22-26/. Таким образом, деконфайнмент в $SU(3)$ теории с изодублетом легких кварков, возможно, является либо переходом второго рода, либо переходом первого рода, близким ко второму. Сложившееся положение, очевидно, выдвигает дополнительные аргументы в пользу исследования свойств кварк-адронной и глюон-глюобольной смесей.

Во второй части работы мы сформулируем основные положения статистической модели деконфайнмента в $SU(2)$ и $SU(3)$ бескварковых системах, учитывающей сосуществование глюоболов с глюонной плазмой, и исследуем термодинамические характеристики смеси глюонов и глюоболов. Третья часть статьи будет посвящена анализу деконфайнмента в кварк-адронной смеси при нулевой барионной плотности.

2. Термодинамические свойства смеси глюонов и глюоболов

Основной особенностью нашей статистической модели деконфайнмента в $SU(2)$ и $SU(3)$ системах является то, что мы учитываем возможность одновременного рождения из вакуума связанных состояний глюонов (глюоболов) и несвязанных глюонов (глюонной плазмы). При рассмотрении такой смеси удобно ввести понятие полной глюонной плотности ρ , для которой выполнено соотношение

$$\rho = \rho_g + \sum_{nj} n \rho_{nj}. \quad (1)$$

Здесь ρ_g - это плотность несвязанных глюонов, ρ_{nj} - плотность n -глюонных глюоболов сорта j . Каждую фазу в смеси удобно характеризовать концентрацией

$$w_g \equiv \frac{\rho_g}{\rho}, \quad w_G \equiv \frac{1}{\rho} \sum_{nj} n \rho_{nj}, \quad (2)$$

где индекс g относится к глюонной плазме, G - к фазе глюоболов.

Взаимодействие глюоболов друг с другом мы описываем, вводя исключенный объем частиц, как это делал Бааке /7/. В данном случае средняя плотность рождающихся из вакуума глюоболов определяется с помощью равенств

$$\rho_{nj} = \tilde{\rho}_{nj} \cdot \left(1 + \sum_{nj'} v_{nj'} \tilde{\rho}_{nj'}\right)^{-1}, \quad (3)$$

$$\tilde{\rho}_{nj} = \frac{\varepsilon_{nj}}{2\pi^2} \int_0^{+\infty} \left(\exp(\sqrt{k^2 + M_{nj}^2}/\theta) - 1\right)^{-1} k^2 dk. \quad (4)$$

В выражениях (3) и (4) через v_{nj} мы обозначили объем кора глюбола сорта n_j , M_{nj} и ε_{nj} - это масса и число внутренних степеней свободы глюбола. Для величин M_{nj} и v_{nj} корректно использовать соотношение

$$v_{nj} = \frac{M_{nj}}{M_{2,0}} \cdot \bar{v}_{2,0}, \quad (5)$$

вытекающее из теории мешков /6/, если предположить, что объем кора пропорционален объему мешка. При известных массах глюоболов и величине $\bar{v}_{2,0}$ с помощью (5) мы можем вычислить объем кора любого глюбола. Как видно, $\bar{v}_{2,0}$ удобно считать параметром модели. Полагая, что легкие глюоболы вносят основной вклад в термодинамику, мы учитываем только низколежачие связанные состояния глюоболов со следующими характеристиками /27,28/: $\varepsilon_{2,0} = 6$, $M_{2,0} = 960$ МэВ; $\varepsilon_{2,1} = 6$, $M_{2,1} = 1290$ МэВ; $\varepsilon_{2,2} = 6$, $M_{2,2} = 1590$ МэВ; $\varepsilon_{3,0} = 11$, $M_{3,0} = 1460$ МэВ; $\varepsilon_{3,1} = 39$, $M_{3,1} = 1800$ МэВ. Заметим, что в работах /27,28/ вычислялись массы $SU(3)$ глюоболов. Однако, поскольку указанный набор хорошо согласуется с оценками масс $SU(2)$ глюоболов /29,30/, мы будем его использовать и при рассмотрении $SU(2)$ системы. Кроме того, отметим согласие данного набора масс с другими расчетами масс $SU(3)$ глюоболов /31-33/.

В MIT модели /8,27,28/ энергия глюонной плазмы записывается в форме

$$E = \sum_{\kappa} n_g(\kappa) \cdot \kappa + BV, \quad (6)$$

$n_g(\kappa)$ - распределение глюонов, V - объем системы, а B - константа, называемая давлением вакуума КХД. Если слагаемое BV интерпретировать как энергию взаимодействия глюонов, то BV/N , где N - число глюонов, представляет собой энергию взаимодействия, приходящуюся на одну частицу. Подставляя BV/N в спектр глюонов в плазме, мы получаем выражение для энергии плазмы

$$E = \sum_{\kappa} n_g(\kappa) \cdot \left(\kappa + \frac{BV}{N}\right). \quad (7)$$

Обратим внимание на то, что использование при расчете энергии кварковой плазмы спектра кварков, подобного спектру в (7), дает результаты, неплохо согласующиеся с фермионным сектором энергии $SU(3)$ теории с изодублетом легких кварков выше температуры деконфайнмента /13/.

По аналогии со спектром глюонов в плазме выбираем спектр глюонов в глюон-глюобольной смеси в виде

$$\omega(k) = k + \frac{B}{\rho}, \quad (8)$$

при этом средняя плотность несвязанных глюонов в смеси представляется выражением

$$\rho_g = \frac{\epsilon_g}{2\pi^2} \int_0^{+\infty} (\exp(\omega(k)/\theta) - 1)^{-1} k^2 dk, \quad (9)$$

ϵ_g - число квантовых степеней свободы глюона. Другая возможность выбора $\omega(k) = k + B/\rho_g$ приводит к термодинамической неустойчивости модели. Подчеркнем, что так как ρ - это полная плотность глюонов в системе, то величина B/ρ , входящая в спектр (8), является энергией взаимодействия несвязанного глюона со средним полем всех глюонов, как связанных, так и квазисвободных. То есть задание эффективного спектра глюонов в форме (8) учитывает взаимодействие плазменных глюонов и друг с другом, и с глюобалами. При этом глюоболы допустимо считать сильно связанными глюонными состояниями, масса которых незначительно зависит от взаимодействия с плазмой.

Полная глюонная плотность и концентрации фазы температуры определяются из системы уравнений (1)-(5), (8), (9), зависящих от параметров B и $\nu_{2,0}$. С помощью ρ находятся другие термодинамические характеристики глюон-глюобольной смеси, в частности, плотность средней энергии системы

$$\begin{aligned} \epsilon = & \frac{\epsilon_g}{2\pi^2} \int_0^{+\infty} dk \cdot k^2 \cdot (k + \frac{B}{\rho}) \cdot [\exp(\frac{k + B/\rho}{\theta}) - 1]^{-1} + \\ & + \sum_{nj} \frac{\epsilon_{nj}}{2\pi^2 (1 + \sum_{nj'} \nu_{nj'} \tilde{\rho}_{nj'})} \int_0^{+\infty} \frac{\sqrt{k^2 + M_{nj}^2} \cdot k^2 \cdot dk}{\exp(\frac{\sqrt{k^2 + M_{nj}^2}}{\theta}) - 1}, \end{aligned} \quad (10)$$

давление

$$\begin{aligned} p = & - \frac{\theta \cdot \epsilon_g}{2\pi^2} \int_0^{+\infty} dk \cdot k^2 \cdot \ln(1 - \exp(-\frac{k + B/\rho}{\theta})) - \\ & - \sum_{nj} \frac{\theta \cdot \epsilon_{nj}}{2\pi^2 (1 + \sum_{nj'} \nu_{nj'} \tilde{\rho}_{nj'})} \int_0^{+\infty} dk \cdot k^2 \cdot \ln(1 - \exp(-\frac{\sqrt{k^2 + M_{nj}^2}}{\theta})). \end{aligned} \quad (11)$$

Параметры $\nu_{2,0}$ и B выбираются из согласия наших расчетов с решеточными данными.

Численное исследование модели приводит к следующим результатам.

а) $SU(3)$ система, $\epsilon_g = 16$. При любом B и при всех значениях $\nu_{2,0}$, меньших критической величины $\nu_{2,0}^{(c)}(B)$, в

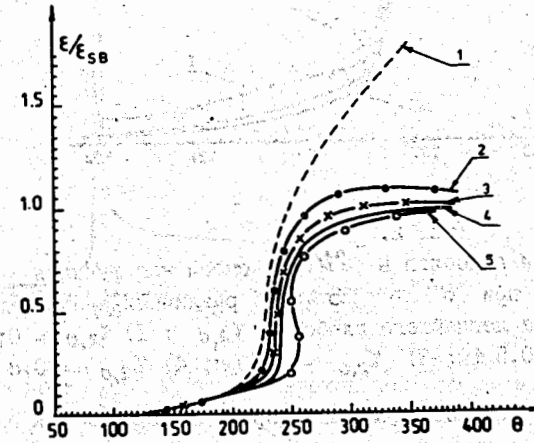


Рис. 1.

Зависимость приведенной энергии $SU(3)$ смеси E/ϵ_{SB} температуры при $B^{1/4} = 235$ МэВ и различных значениях радиуса кора легчайшего глюобала $r_{2,0}$: 1) $r_{2,0} = 0$; 2) $r_{2,0} = 0,5$ фм; 3) $r_{2,0} = 0,7$ фм; 4) $r_{2,0} = 0,8$ фм; 5) $r_{2,0} = 1$ фм.

некотором диапазоне значений температуры, зависящем от параметров, происходит резкое возрастание функции $E(\theta)/\epsilon_{SB}(\theta)$ ($\epsilon_{SB}(\theta)$ - объемная плотность энергии идеального газа глюонов), сопровождающееся таким же резким уменьшением концентрации фазы глюоболов W_G (см. рис. 1, 2, на которых изображены температурные зависимости величин E/ϵ_{SB} и W_G при $B^{1/4} = 235$ МэВ и различных значениях $r_{2,0} = (3\nu_{2,0}/4\pi)^{1/3}$).

Отметим принципиальную необходимость учета взаимодействия глюоболов. Так, если глюоболы не взаимодействуют друг с другом ($\nu_{2,0} = 0$), то далее при возрастании температуры убывание W_G прекращается

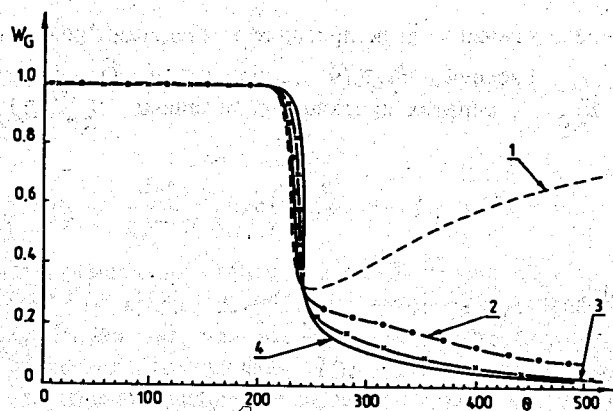


Рис. 2.

Концентрация глюолов в $\mathcal{SU}(3)$ смеси как функция температуры при $B^{1/4} = 235$ МэВ и различных значениях радиуса кора легчайшего глюбола $\tau_{2,0}$: 1) $\tau_{2,0} = 0$; 2) $\tau_{2,0} = 0,5$ фм; 3) $\tau_{2,0} = 0,7$ фм; 4) $\tau_{2,0} = 0,8$ фм.

и концентрация фазы глюолов начинает возрастать, причем для $\theta \rightarrow \infty$

$$W_G \rightarrow \sum_{nj} n \epsilon_{nj} / (\epsilon_g + \sum_{n'j'} n' \epsilon_{n'j'}) \cong 0,92,$$

$$\epsilon/\epsilon_{SB} \rightarrow 1 + \sum_{nj} \epsilon_{nj}/\epsilon_g \cong 5,25.$$

Как видно, в данном случае при высоких температурах основная роль в системе принадлежит глюоблам, а концентрация глюонной плазмы мала.

Напротив, при учете взаимодействия глюолов друг с другом ($\tilde{\nu}_{2,0} > 0$) имеем

$$W_G \rightarrow 0 \quad (\theta \rightarrow \infty),$$

$$\epsilon/\epsilon_{SB} \rightarrow 1 \quad (\theta \rightarrow \infty).$$

С возрастанием $\tilde{\nu}_{2,0}$ при постоянном B кривые ϵ/ϵ_{SB} и W_G в области быстрого изменения становятся всё более крутыми. Наконец, когда $\tilde{\nu}_{2,0}$ сравниваются с $\tilde{\nu}_{2,0}^{(c)}$, у описываемых функций появляется точка перегиба, в которой их производные по температуре обращаются в бесконечность. Отметим, что для $B^{1/4} = 235$ МэВ значе-

ние $\tilde{\nu}_{2,0}^{(c)}$ соответствует величине радиуса легчайшего глюбола $\tau_{2,0}^{(c)} \cong 0,8$ фм. Теплоёмкость при $\tilde{\nu}_{2,0} = \tilde{\nu}_{2,0}^{(c)}$ имеет сингулярность (см. рис. 3). В области $\tilde{\nu}_{2,0} > \tilde{\nu}_{2,0}^{(c)}$ кривые ϵ/ϵ_{SB} и W_G содержат петлю (она показана на рис. 1). При таких значениях $\tilde{\nu}_{2,0}$ в смеси глюонов

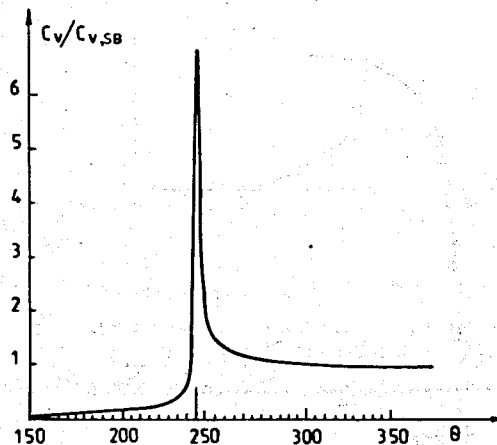


Рис. 3.

Теплоёмкость смеси, отнесенная к асимптотическому значению, при $B^{1/4} = 235$ МэВ, $\tau_{2,0} = \tau_{2,0}^{(c)}(235) \cong 0,8$ фм.

и глюолов происходит фазовый переход первого рода. Таким образом, при $\tilde{\nu}_{2,0} < \tilde{\nu}_{2,0}^{(c)}$ деконфаймент в системе является непрерывным фазовым переходом с пикообразным максимумом теплоёмкости в точке перехода. При $\tilde{\nu}_{2,0} = \tilde{\nu}_{2,0}^{(c)}$ деконфаймент представляет собой фазовый переход второго рода по классификации Эренфеста. Наконец, при $\tilde{\nu}_{2,0} > \tilde{\nu}_{2,0}^{(c)}$ происходит фазовый переход первого рода.

Результаты нашего рассмотрения лучше всего согласуются с численным моделированием на решетках, если $B^{1/4} \cong 210 \div 235$ МэВ. При этом для $B^{1/4} = 235$ МэВ $\tau_{2,0} \cong 0,6$ фм \div $0,66$ фм; для $B^{1/4} = 210$ МэВ $\tau_{2,0} \cong 0,75$ фм \div $0,82$ фм (при упомянутых значениях параметров в системе происходит либо переход второго рода, либо близкий к нему переход первого рода. Отметим, что при $B^{1/4} = 235$ МэВ фазовый переход второго рода осуществляется при $\theta_{dec} \cong 240$ МэВ ($\tau_{2,0} = \tau_{2,0}^{(c)}(235) \cong 0,8$ фм). Соответственно, выбирая $B^{1/4} = 210$ МэВ и $\tau_{2,0} = \tau_{2,0}^{(c)}(210) \cong 0,64$ фм, имеем $\theta_{dec} \cong 215$ МэВ. На рис. 4 представлены результаты расчета величины $\epsilon + p$ в рамках нашей модели (сплошная линия, $B^{1/4} = 235$ МэВ, $\tau_{2,0} = 0,8$ фм) и с помощью моделирования на решетке $24^3 \times 6$ (точки, см. ссылку 20)

в) $SU(2)$ система, $\epsilon_g = 6$. Все, что говорилось о качественном пове-

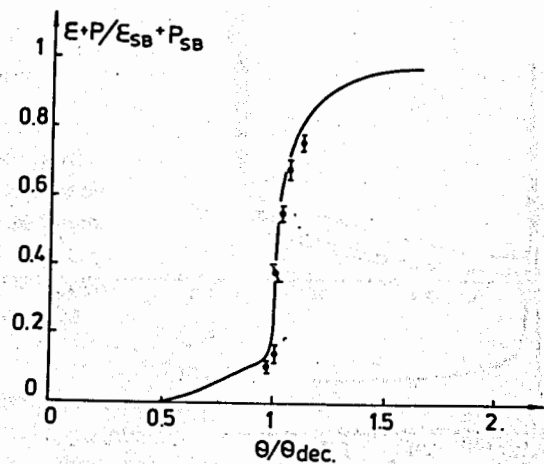


Рис. 4.

Величина $\mathcal{E} + P$ для $SU(2)$ смеси, отнесенная к асимптотическому значению, в зависимости от температуры: непрерывная линия - наша модель, $B^{1/4} = 235$ МэВ, $\tau_{2,0} = 0,8$ фм; точки - расчет на решетке $24^3 \times 6$ (см. работу /20/).

дении $SU(3)$ смеси, относится и к $SU(2)$ системе. Результаты исследования $SU(2)$ глюона-глобальной смеси, представлены на рис. 5 и 6. Наши расчеты находятся в наилучшем согласии с данными решеточного моделирования /17/, если $B^{1/4} \approx 165$ МэВ и $\tau_{2,0} \approx 1.15$ фм \div 1,2 фм (при этом в системе происходит или фазовый переход второго рода, или близкий к нему непрерывный переход, сопровождающийся высоким игло-видным максимумом теплоёмкости в точке перехода; $\theta_{dec} \approx 205$ МэВ).

3. Кварк-адронная смесь

Как и при рассмотрении бескварковых $SU(2)$ и $SU(3)$ систем, исследуя фазовый переход из адронов в кварк-глюонную плазму, мы учитываем сосуществование адронов и плазмы. В кварк-адронной смеси из вакуума одновременно рождаются и адроны, и кварки с глюонами (мы рассматриваем случай нулевой барионной плотности). Плотность ρ кварк-адронной смеси определяется равенством

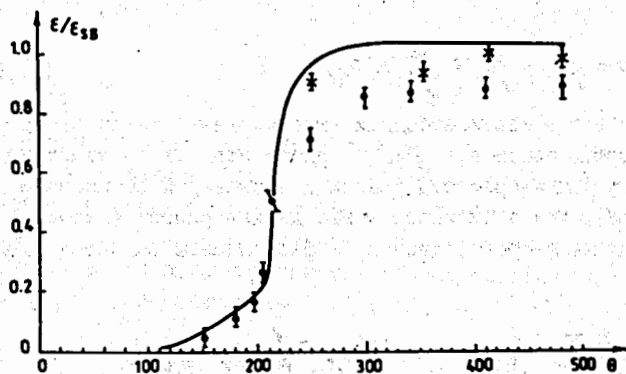


Рис. 5.

Относительная энергия $SU(2)$ системы $\mathcal{E}/\mathcal{E}_{sb}$ как функция температуры: результаты нашего рассмотрения при $B^{1/4} = 165$ МэВ, $\tau_{2,0} = 1,2$ фм. (непрерывная линия); данные решеточных вычислений /25/ для решетки $10^3 \times 2$ (кресты) и $10^3 \times 3$ (точки).

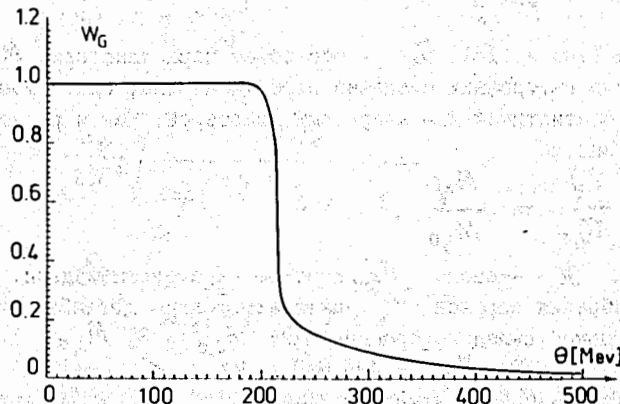


Рис. 6.

Концентрация глюоболов в $SU(2)$ смеси как функция температуры при тех же значениях параметров, что и на рис. 5.

$$\rho = \rho_q + \rho_g + \sum_{nj} n \rho_{nj}, \quad (I2)$$

где ρ_q - плотность квазисвободных (несвязанных) кварков, ρ_g - плотность несвязанных глюонов, ρ_{nj} - плотность n - кварковых кластеров сорта j (для простоты кварки и антикварки обозначаем одним словом "кварки", при этом мезон - это двухкварковый кластер). Концентрации фазы кластеров (адронов) и фазы плазмы задаются выражениями

$$w_c \equiv \frac{1}{\rho} \sum_{nj} n \rho_{nj}, \quad w_{q,g} \equiv \frac{1}{\rho} (\rho_q + \rho_g). \quad (I3)$$

Взаимодействие адронов учитываем по Ван-дер-Ваальсу /3,34,35/. При этом для плотностей справедливы следующие соотношения:

$$\rho_{nj} = \tilde{\rho}_{nj} \left(1 + \sum_{n'j'} v_{n'j'} \tilde{\rho}_{n'j'}\right)^{-1}, \quad (I4)$$

$$\tilde{\rho}_{nj} = \frac{\varepsilon_{nj}}{2\pi^2} \int_0^{+\infty} \left(\exp(\sqrt{k^2 + M_{nj}^2}/\theta) - (-1)^n\right)^{-1} k^2 dk. \quad (I5)$$

В выражениях (I4) и (I5) v_{nj} - это объем кора кластера, M_{nj} и ε_{nj} - масса и число внутренних степеней свободы адрона; слагаемое $(-1)^n$ обусловлено статистикой n - кварковых кластеров. Как и ранее, используем равенство

$$\frac{v_{nj}}{v_{2,0}} = \frac{M_{nj}}{M_{2,0}}, \quad (I6)$$

а объем кора π - мезона $v_{2,0}$ считаем параметром модели. Из всего многообразия адронов /36/ учитываем только легчайшие частицы, вносящие основной вклад в термодинамику: $\varepsilon_{2,0} = 3$, $M_{2,0} = 140$ МэВ (π - мезон), $\varepsilon_{2,1} = 2$, $M_{2,1} = 494$ МэВ (K^+ , K^- - мезоны); $\varepsilon_{2,2} = 4$, $M_{2,2} = 498$ МэВ (K^0 , \bar{K}^0 - мезоны); $\varepsilon_{2,3} = 1$, $M_{2,3} = 549$ МэВ (η - мезоны); $\varepsilon_{2,4} = 9$, $M_{2,4} = 765$ МэВ (ρ - мезоны); $\varepsilon_{2,5} = 3$, $M_{2,5} = 784$ МэВ (ω - мезоны); $\varepsilon_{3,0} = 8$, $M_{3,0} = 938$ МэВ (нуклоны и антинуклоны); $\varepsilon_{3,1} = 32$, $M_{3,1} = 1232$ МэВ (Δ (I232) - и анти Δ (I232) изобары).

При выборе спектра кварков в смеси пользуемся рассуждениями, аналогичными соображениям, изложенным в предыдущем параграфе. Энергия кварк-глюонной плазмы в MIT подходе определяется равенством

$$E = \sum_k n_q(k) \cdot k + \sum_k n_g(k) \cdot \sqrt{k^2 + m_g^2} + BV. \quad (I7)$$

В (I7) $n_q(k)$ и $n_g(k)$ - распределения глюонов и кварков по импульсу; B - это давление вакуума КХД, V - объем системы; $m_g = 7$ МэВ - масса кварка (учитываем только *up*- и *down* - кварки). Интерпретируя BV как энергию взаимодействия кварков и глюонов и добавляя в спектры частиц величину энергии взаимодействия на частицу $BV/(N_q + N_g)$, переписываем (I7) в виде

$$E = \sum_k n_q(k) \cdot \left(k + \frac{BV}{N_q + N_g}\right) + \sum_k n_g(k) \cdot \left(\sqrt{k^2 + m_g^2} + \frac{BV}{N_q + N_g}\right), \quad (I8)$$

N_q обозначает число кварков в плазме, N_g - число глюонов. Далее по аналогии со спектрами кварков и глюонов в плазме задаем спектры этих частиц в кварк-адронной смеси в форме

$$\omega_q(k) = \sqrt{k^2 + m_q^2} + \frac{B}{\rho}, \quad (I9)$$

$$\omega_g(k) = k + \frac{B}{\rho}. \quad (20)$$

При этом

$$\rho_q = \frac{\varepsilon_q}{2\pi^2} \int_0^{+\infty} \frac{k^2 dk}{\exp(\omega_q(k)/\theta) + 1}, \quad (21)$$

$$\rho_g = \frac{\varepsilon_g}{2\pi^2} \int_0^{+\infty} \frac{k^2 dk}{\exp(\omega_g(k)/\theta) - 1}, \quad (22)$$

ε_q и ε_g обозначают числа внутренних степеней свободы кварка и глюона. Отметим, что другая возможность выбора спектров, $\omega_q(k) = \sqrt{k^2 + m_q^2} + B/(\rho_q + \rho_g)$, $\omega_g(k) = k + B/(\rho_q + \rho_g)$, ведет к неустойчивости модели.

Модель деконфайнмента в $SU(3)$ системе с кварками двух ароматов в своем частном случае (когда $\rho_q = 0$, а среди адронов учитываются только глоболы) совпадает с моделью бескварковой $SU(3)$ системы. Таким образом, для согласованности, необходимо положить $B^{1/4} \approx 210$ МэВ \div 235 МэВ. Решая систему уравнений (I2)-(I6), (I9)-(22) для различных наборов параметров $v_{2,0}$ и B , получаем следующее. Качественное поведение модели подобно поведению рассмотренных

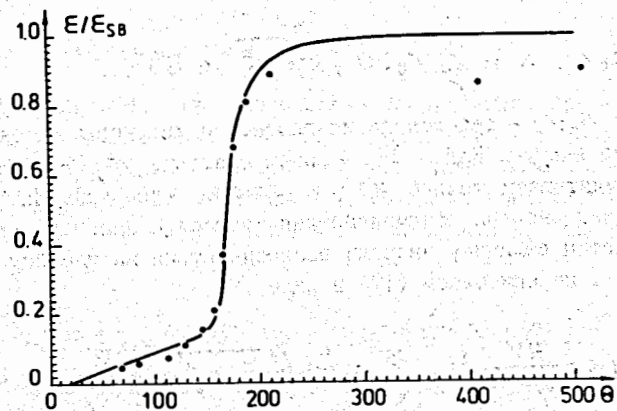


Рис. 7.

Зависимость от температуры величины E/E_{SB} для кварк-адронной смеси (E_{SB} - плотность энергии кварк-глюонного газа): непрерывная линия - наши результаты для $B^{1/4} = 210$ МэВ, $r_{2,0} = 0,56$ фм; точки - решеточные данные из работы [22], относящиеся к $\theta_{dec} = 166$ МэВ.

моделей деконфайнмента в бескварковых $SU(2)$ и $SU(3)$ системах. При $B^{1/4} = 210$ МэВ наилучшее согласие с решеточными данными имеется, если радиус кора π -мезона $r_{2,0}$ попадает в область (0,52 фм, 0,58 фм) соответственно, для $B^{1/4} = 235$ МэВ, $r_{2,0} \in (0,56 \text{ фм}, 0,62 \text{ фм})$. При этом в смеси происходит либо фазовый переход второго рода ($B^{1/4} = 210$ МэВ, $r_{2,0} \doteq r_{2,0}^{(c)}(210) \cong 56$ фм и $\theta_{dec} = 166$ МэВ; $B^{1/4} = 235$ МэВ, $r_{2,0} = r_{2,0}^{(c)}(235) \cong 0,6$ фм и $\theta_{dec} \cong 192$ МэВ), либо близкие к нему фазовый переход первого рода или непрерывный переход с пикообразным максимумом теплоёмкости. Результаты расчетов приведены на рис. 7,8. Кроме того, обратим внимание на хорошее согласие полученных значений радиуса кора π -мезона с величиной эффективного радиуса π -мезона [37]: $R_{\pi} = 0,66$ фм.

В заключение еще раз отметим, что в данной статье поведение смеси кварк-глюонной плазмы и адронов рассмотрено только при нулевой барионной плотности. Деконфайнмент, происходящий в нерасслоенной кварк-адронной смеси с ростом барионной плотности при низких температурах, описан в работах [38,39].

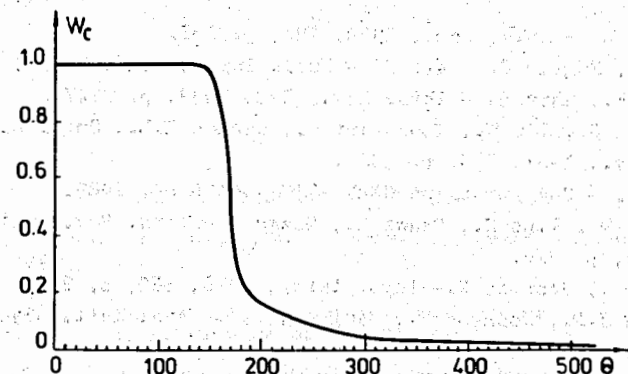


Рис. 8.

Концентрация кластерной фазы W_c при $B^{1/4} = 210$ МэВ, $r_{2,0} = 0,56$ фм.

Литература

1. Hagedorn R. - Nuovo Cim. Suppl., 1965, 3, p. I47.
2. Baym G., Chin S. - Phys. Lett., 1976, B 62, p. 241.
3. Hagedorn R., Rafelski J. - Phys. Lett., 1980, B97, p. I36.
4. Dixit V.V., Suhonen E. - Z. Phys., 1983, C 18, p. 355.
5. Wong C.W. - Phys. Rep., 1986, I36, p. I.
6. Karsch F., Mütter K.H. - Nucl. Phys., 1989, B313, p. 541.
7. Baacke J. - Acta. Phys. Pol., 1977, B 8, p. 625.
8. Chodos A., Jaffe R., Johnson K., Thorn C. - Phys. Rev., 1974, D 10, p. 2599.
9. Källman C.G. - Phys. Lett., 1984, B 134, p. 363.
10. DeGrand T.A., De Tar C.E. - Phys. Rev., 1987, D 35, p. 742.
11. Karsch F. - Z. Phys., 1988, C38, p. I47.
12. Москаленко И.В., Харзеев Д.Э. - ЯФ, 1988, 48, с. II22.
13. Gorenstein M.I., Modilevsky O.A. - Z. Phys., 1988, C38, p. I61.
14. Yukalov V.I. - Physica, 1981, A108, p. 402.
15. Yukalov V.I. - Phys. Rev., 1985, B. 32, p. 436.
16. Yukalov V.I. - Phys. Lett., 1987, A125, p. 95.
17. Engels J., Karsch F., Montvay I., Satz H. - Phys. Lett., 1981, B 101, p. 89.
18. Engels J. et al. - Nucl. Phys., 1987, B 280, [FS18], p. 577.
19. Bacllieru P. et al. - Phys. Rev. Lett., 1988, 61, p. I545.
20. Brown J.R. et al. - Phys. Rev. Lett., 1988, 61, p. 2058.

21. Marinari E. - Phys. Rep., 1989, 184, p. 131.
22. Celik T., Engels J., Satz H. - Nucl. Phys., 1985, B 256, p. 670.
23. Redlich K., Satz H. - Phys. Rev., 1986, D33, p. 3747.
24. Gottlieb S., Liu W., Toussaint D., Renken R.L., Sugar R.L. - Phys. Rev., 1987, D35, p. 3972.
25. Karsch F. - CERN preprint CERN - TH - 5498/89, 1989.
26. Fukugita M., Mino H., Okawa M., Ukawa A. - Phys. Rev. Lett., 1990, 65, p. 816.
27. Jaffe R.L., Johnson K. - Phys. Lett., 1976, B60, p. 201.
28. Donoghue J.F., Johnson K., Bing An. Li - Phys. Lett., 1981, B 99, p. 416.
29. Berg B. - Phys. Lett., 1980, B97, p. 401.
30. Engelz J., Karsch F., Montway I., Satz H. - Nucl. Phys., 1982, B 205, p. 545.
31. Fritzsche H., Minkowski P. - Nuovo Cimento, 1975, A 30, p. 393.
32. Kogut J., Sinclair D.K., Susskind L. - Nucl. Phys., 1976, B114, p. 199.
33. Berg B., Billoire A. - Nucl. Phys., 1983, B 221, p. 109.
34. Chizhov A.V., Nazmitdinov R.G., Shumovsky A.S., Yukalov V.I., - Nucl. Phys., 1986, A449, p. 660.
35. Cleymanz J., Satz H., Suhonen E., D.W. von Certzen - Phys. Lett., 1990, B 242, p. III.
36. Particle Data Group - Phys. Lett., 1990, B 239, p. II 4, p. II 18.
37. Amendolia et al. - Phys. Lett., 1984, B146, p. II6.
38. Yukalov V.I., Kadantseva E.P., Shanenko A.A. - Queen's University preprint DMS-5, Kingston, 1990.
39. Kadantseva E.P., Shanenko A.A., Yukalov V.I. - Phys. Lett., 1991, B 255, p. 427.

Рукопись поступила в издательский отдел

10 июля 1991 года.